

مقاله پژوهشی

مدل‌سازی پتانسیل کانی‌سازی مس و طلای پورفیری با به کار گیری روش یادگیری نیمه‌نظراتی در پهنه اکتشافی دهسلیم، شرق ایران

مجید کیخای حسین‌پور^{۱*}، امیرحسین کوهساری^۱، امین حسین‌مرشدی^۱ و آلوک پروال^۲

(۱) گروه مهندسی اکتشاف معدن، دانشکده مهندسی معدن و متالورژی، دانشگاه بیزد، بیزد، ایران

(۲) مرکز مطالعات مهندسی منابع، مرکز تکنولوژی بمبئی هند، بمبئی، هندوستان

(۳) مرکز هدف‌گذاری اکتشاف، دانشگاه استرالیای غربی، کراولی ۰۹۶۰۰، غرب استرالیا، استرالیا

دریافت مقاله: ۱۳۹۸/۰۳/۲۷، پذیرش: ۱۳۹۹/۰۲/۳۰

چکیده

شناسایی نواحی امیدبخش معدنی در اکتشافات ناحیه‌ای برای برنامه‌ریزی عملیات اکتشاف تفصیلی با به کار گیری و تحلیل داده‌های اکتشافی موجود در قالب مدل‌سازی پتانسیل معدنی توسعه یافته است. در این پژوهش، برای مدل‌سازی پتانسیل مس و طلای پورفیری در پهنه اکتشافی دهسلیم واقع در جنوب بلوک لوت، شرق ایران، از روش یادگیری ماشین بردار پشتیبان نیمه‌نظراتی استفاده شده است. روش‌های یادگیری نیمه‌نظراتی در مرحله یادگیری، از داده‌های برچسب‌دار و بدون برچسب اکتشافی در الگوریتم محاسباتی خود بهره می‌برند. در این مقاله، با به کار گیری الگوریتم ماشین بردار پشتیبان نیمه‌نظراتی بر روی داده‌های اکتشافی منطقه دهسلیم شامل داده‌های زمین‌شناسی (سنگ‌شناسی و ساختاری)، ژئوشیمی رسوبات آبراهه‌ای، تصاویر ماهواره‌ای و مغناطیس هوابرد، مناطق هدف اکتشافی مس و طلای پورفیری شناسایی شد. در ادامه، نتیجه به کار گیری این مدل با خروجی روش ماشین بردار پشتیبان در حالت نظارت شده مقایسه و ارزیابی عملکرد مدل‌های تولیدشده با استفاده از نمودارهای منحنی مشخصه عملکرد سیستم و میزان تغییرات پیش‌بینی-مساحت بهبود یافته، بررسی شد. بر این اساس، مدل پتانسیل نیمه‌نظراتی عملکرد بهتری را در شناسایی اهداف اکتشافی مس و طلای پورفیری داشته است. نواحی اهداف پتانسیل شنا سایی شده در مدل نیمه‌نظراتی، تمامی اندیس‌های معدنی شناخته شده در منطقه مورد بررسی را در حد از مساحت ناحیه مورد بررسی، به درستی پیش‌بینی کرده است. اهداف اکتشافی معروفی شده، اغلب هم‌راستا با روند گسل‌های اصلی منطقه، در راستای شمال‌غربی-جنوب شرقی و مرتبط با واحدهای ولکانیک نظری ریولیت، آندزیت، داسیت و ریودا سیت هستند. نتیجه حاصل از این پژوهش نشان‌دهنده برتری روش یادگیری نیمه‌نظراتی در شناسایی نواحی هدف معدنی برای برنامه‌ریزی عملیات تفصیلی اکتشافی است.

واژه‌های کلیدی: مدل‌سازی پتانسیل معدنی، مس و طلای پورفیری، یادگیری نیمه‌نظراتی، ماشین بردار پشتیبان، دهسلیم

مقدمه

به کار گیری تمامی اطلاعات اکتشافی موجود با هدف شنا سایی

نواحی امیدبخش معدنی از مقیاس ناحیه‌ای (بیش از ۵۰۰ کیلومتر

عملیات اکتشاف مواد معدنی فرایندی مرحله‌ای است که با

پیچیده حاکم بر معیارهای اکتشافی را بدون درنظر گرفتن موقعیت اندیس‌های شناخته شده و تنها بر اساس شاخصه‌های آماری استخراج می‌کنند (Abedi et al., 2013).

مهم‌ترین محدودیت روش‌های نظارت شده، استفاده نکردن از داده‌های بدون برچسب در فرایند مدل‌سازی است. در مراحل اولیه اکتشافی به خصوص در مناطق بکر اکتشافی، تعداد داده‌های برچسب‌دار بسیار محدود است و این امر سبب ناتوانی مدل‌های Zuo (and Carranza, 2011) نظارت شده در مدل‌سازی مطلوب پتانسیل معدنی می‌شود (به هیچ عنوان از داده‌های برچسب‌دار (حتی با وجود تعداد کم موجود) در فرایند یادگیری استفاده نمی‌کنند که این امر عدم اطمینان در خروجی مدل اکتشافی را افزایش می‌دهد (Chen, 2015). بنابراین توسعه و به کارگیری روشی که همزمان از داده‌های برچسب‌دار و بدون برچسب در مراحل اولیه اکتشاف بهره ببرد، ضروری است. روش‌های یادگیری نیمه‌نظارتی برای پوشش محدودیت‌های دو رویکرد یادگیری اشاره شده، توسعه یافته‌اند. در مدل‌سازی پتانسیل معدنی با رویکرد یادگیری نیمه‌نظارت شده، برچسب‌ها مناطق تأثیرگذاری کانی‌سازی (اندیس‌های معدنی شناخته شده) و یا نقاط بدون کانی‌سازی در منطقه مورد بررسی هستند که در فاز یادگیری مدل از آنها استفاده می‌شود و نتیجه خروجی مدل تولید شده، شناسایی مناطق دارای پتانسیل کانی‌سازی است که نیاز به بررسی‌های زمین‌شناسی دارد.

روش‌های یادگیری نیمه‌نظارتی در مدل‌سازی پتانسیل معدنی به صورت موافقیت آمیزی به کار گرفته شده‌اند. فاتحی و اسدی (Fatehi and Asadi, 2017) در پژوهش خود در اندیس مس طلای پورفیری دالی، از الگوریتم نیمه‌نظارتی ماشین بردار پشتیبان هدایت شده¹ برای طراحی نقاط حفاری تکمیلی در فاز اکتشاف تفصیلی استفاده کردند. نتیجه حاصل از به کار گیری الگوریتم TSVM، مشخص کردن مرز نهایی زون کانی‌سازی مس طلا و زمینه‌بی اهمیت از دیدگاه کانی‌سازی بوده است.

مربع) تا محلی (کمتر از ۱۰ کیلومتر مربع) توسعه پیدا کرده است (Yousefi and Nykänen, 2017). در نخستین فاز اکتشافی نوع ذخیره هدف مورد جستجو در مقیاس ناحیه‌ای، با تعریف یک سیستم کانی‌سازی، ویژگی‌های اکتشافی مرتبط با آن نوع کانی‌سازی شناسایی شده و به کمک ابزار سامانه اطلاعات جغرافیایی و با به کارگیری فن‌های محاسباتی، نواحی امیدبخش معدنی شناسایی می‌شود (McCuaig et al., 2010). بر اساس تعریف روئiroتی و همکاران (Rotiroti et al., 2015)، یک سیستم کانی‌سازی به بررسی مجموعه عوامل مؤثر بر منشأ کانی‌سازی، مسیر حرکت سیال‌های کانه‌دار و در نهایت شرایط تهنشست ذخیره مورد هدف می‌بردند.

پس از شناسایی معیارهای اکتشافی، روش‌های محاسباتی و تحلیلی برای کشف ارتباط درونی بین این معیارها و شناسایی نواحی امیدبخش معدنی تحت عنوان مدل‌سازی پتانسیل معدنی Parsa et al., 2016; Yousefi and Nykänen, 2017) توسعه یافته‌اند (کانی‌سازی، سبب ایجاد عدم قطعیت بالای در خروجی یک مدل اکتشافی پتانسیل معدنی شده است (Abedi et al., 2012). از این‌رو، به کارگیری روش‌های مبتنی بر یادگیری ماشین که توانایی تحلیل و کشف ارتباط پیچیده فضایی را در بین داده‌های اکتشافی اولیه دارا باشند، توسعه یافته است. این روش‌ها بر مبنای نحوه آموزش مدل به دو دسته روش‌های نظارت شده و بدون ناظر تقسیم‌بندی شده‌اند (Chen and Wu, 2016).

در روش‌های نظارت شده، مدل با برقراری ارتباط بین معیارهای اکتشافی و داده‌های برچسب‌دار آموزش می‌یابند. منظور از داده‌های برچسب‌دار در اکتشاف مواد معدنی موقعیت اندیس‌های شناخته شده در مقیاس ناحیه‌ای و یا موقعیت گمانه‌های اکتشافی مطلوب در مقیاس محلی است (Fatehi and Asadi, 2017). روش‌های بدون ناظر، ساختار مخفی و

1. Transductive support vector machine (TSVM)

دگرگونی همبودی شده‌اند (شکل B-1). رخمنون اندکی از سنگ آهک اوریتولین دار در شمال‌غربی و شرق محدوده به رنگ خاکستری و نخدوی بالایه‌بندی نازک تا متوسط دیده می‌شود. واحد کالک شیست با رخمنون بسیار جزئی در شرق محدوده مشاهده می‌شود. کنگلومرا و ماسه سنگ قرمز کرتاسه نیز در شرق نقشه رخمنون دارد که به شدت گسل خورده است.

(Akrami and Naderi Mighan, 2005)

بخش گستردگی از منطقه مورد بررسی، پوشیده از سنگ‌های آتشفسانی اثوسن است. گدازه‌های آندزیت بازالتی، آندزیتی و داسیتی-ریوداسیتی و واحد آذرآواری توف بلورین بیشترین گسترش را در محدوده دارند. گدازه‌های آندزیت بازالتی به رنگ سیاه تا خاکستری تیره از شرق تا غرب منطقه گسترش دارند و در برخی نقاط در مجاورت توده‌های نفوذی دچار دگرسانی شدید شده‌اند. محلول‌تری از گدازه‌های آندزیتی و توف با روند شمالی-جنوبی در شرق محدوده دهسلم دیده می‌شود که در برخی نقاط دگرسان‌شده و دارای کانی‌سازی است. گدازه‌های داسیتی-ریوداسیتی به رنگ روشن در مرکز و جنوب‌غربی نقشه گسترش دارد. گدازه‌های ریولیتی با رخمنون‌های کوچک و پراکنده و سنگ‌های آتشفسانی به شدت دگرسان‌شده اسیدی در شمال محدوده، دیگر سنگ‌های آتشفسانی اثوسن هستند (شکل B-1). تنها واحدهای نفوذی و نیمه عمیق محدوده، گرانیت، دیوریت-گرانودیوریت و دایک‌های اسیدی اثوسن-الیگوسن هستند که به شکل استوک کوچک و دایک در واحدهای آتشفسانی نفوذ کرده‌اند. رخمنون این واحدهای در جنوب، جنوب‌غربی و شرق نقشه مشاهده می‌شود (Akrami and Naderi Mighan, 2005).

روش

ماشین بردار پشتیبان

ماشین بردار پشتیبان^۱ به عنوان روشی نظارت شده، به صورت گستردگی در مدل‌سازی پتانسیل معدنی به کار گرفته شده است

وانگ و همکاران (Wang et al., 2020) در پژوهش خود برای مدل‌سازی پتانسیل آهن اسکارن با رویکرد جنگل تصادفی نیمه‌نظرارت شده، ضمن معرفی این روش به مدل‌سازی پتانسیل معدنی آهن در کمربند معدنی فوجیان چین پرداختند. نتیجه این پژوهش نشان‌دهنده عملکرد بهتر روش یادگیری نیمه‌نظرارتی ارائه شده در مدل‌سازی پتانسیل معدنی بوده است.

منطقه اکتشافی دهسلم در شرق ایران و در نیمه جنوبی بلوک لوت واقع شده است. با وجود پتانسیل بالای کانه‌زایی بلوک لوت، بخش زیادی از ذخایر آن، به خصوص در نیمه جنوبی آن، Karimpour et al., 2011; Malekzadeh Shafaroudi and Karimpour, 2013; Beydokhti et al., 2015; Malekzadeh Shafaroudi et al., 2015. هدف این پژوهش، ارائه یک مدل پتانسیل مس و طلای پورفیری در پنهان اکتشافی دهسلم، شرق ایران با به کارگیری روش ماشین بردار پشتیبان نیمه‌نظرارتی است. بدین‌منظور پس از شناسایی معیارهای اکتشافی مرتبط با کانی‌سازی مس طلای پورفیری، از داده‌های زمین‌شناسی، ژئوشیمی رسوبات آبراهه‌ای، داده‌های ژئوفیزیک هوابرد و تصاویر سنجنده است برای مدل‌سازی نواحی امیدبخش معدنی استفاده شده است.

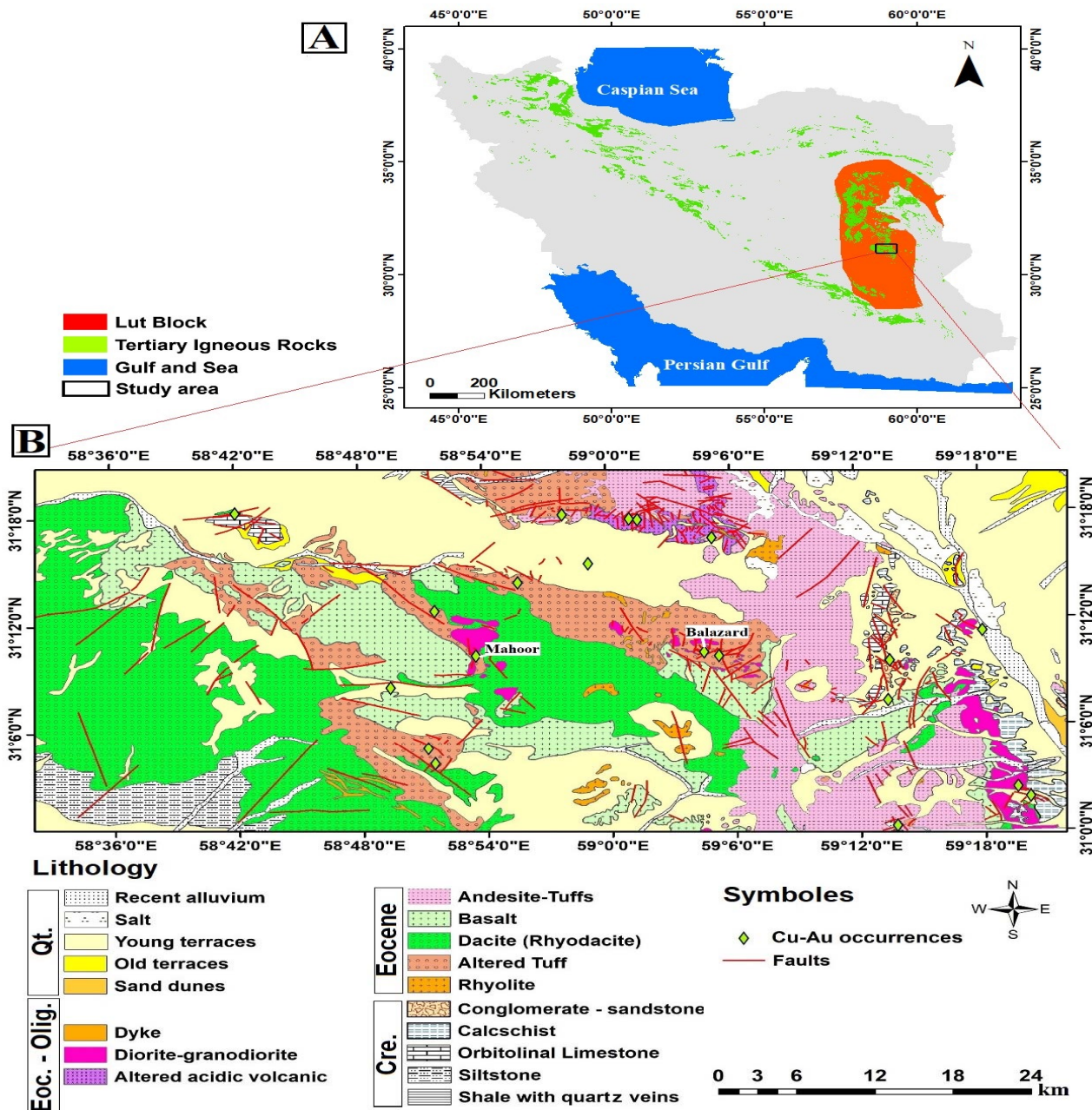
محدوده مورد بررسی

محدوده مورد بررسی به وسعت تقریبی ۲۵۰۰ کیلومتر مربع در حدود ۳۰۰ کیلومتری جنوب-جنوب‌غربی بیرونی در شرق ایران و در جنوب‌غربی نقشه ۱:۲۵۰،۰۰۰ دهسلم واقع شده است (شکل A-1). شرق ایران به دلیل وقوع موقعیت تکتونوماگمایی خاص که ناشی از فروزانده شدن بلوک افغان به زیر بلوک لوت در ترشیاری بوده است، پتانسیل بالایی برای انواع کانی‌سازی به ویژه ذخایر پورفیری و اپی‌ترمال وابسته به آن دارد (Beydokhti et al., 2015). طبق نقشه زمین‌شناسی دهسلم، قدیمی‌ترین واحدهای سنگی منطقه، سنگ‌های رسوبی کرتاسه هستند که در برخی نقاط در مجاورت توده‌های نفوذی دچار

هدف، یافتن بهترین صفحه جداکننده به نحوی است که نواحی آن مال معدنی (طبقه مثبت) و زمینه بدون کانی‌سازی (طبقه منفی) به بهترین شکل تفکیک شوند (شکل ۲). (A-۲).

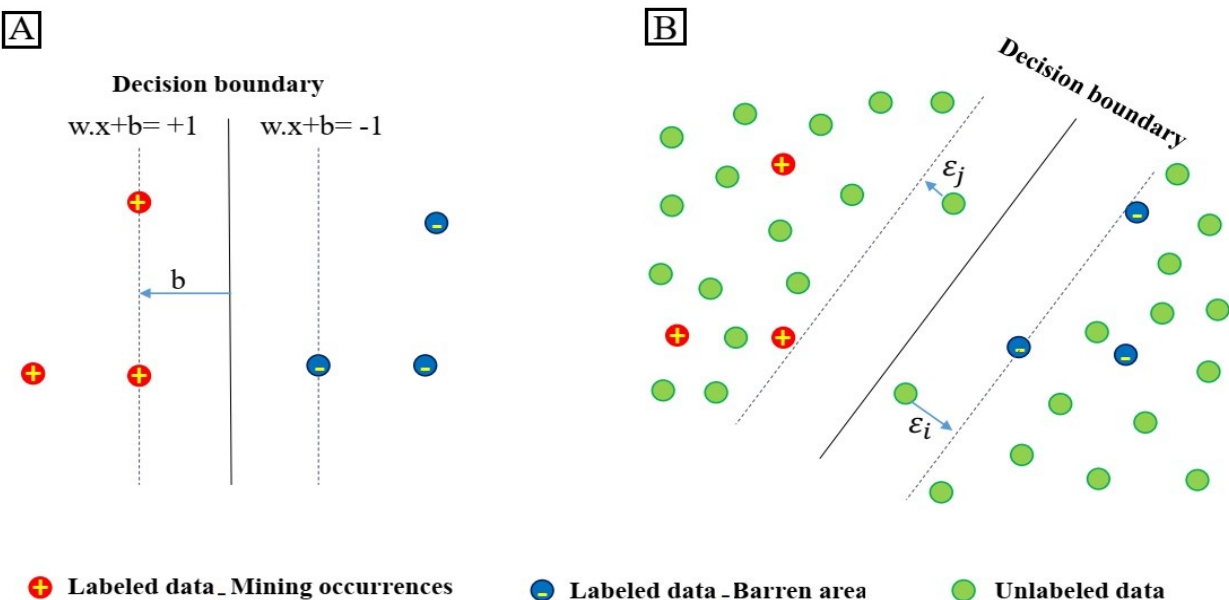
Abedi et al., 2012; Rodriguez-Galiano et al., 2014; Geranian et al., 2016; Shabankareh and .(Hezarkhani, 2017

در این روش هدف، یافتن تابع تصمیم جداکننده با بیشترین فاصله از داده‌های هر طبقه است. در مدل سازی پتانسیل معدنی



شکل ۱. A: پراکندگی واحدهای سنگی و لکانیکی و موقعیت بلوک لوت در شرق ایران و B: نقشه زمین‌شناسی ساده شده منطقه مورد بررسی دهسلم (Akrami and Naderi Mighan, 2005)

Fig. 1. A: Distribution of volcanic rock units and location of the Lut block in eastern Iran, and B: Simplified geological map of the Dehsalm study area (Akrami and Naderi Mighan, 2005)



شکل ۲. مقایسه ماشین بردار پشتیبان در شناسایی مرز تصمیم در حالت های A: ناظارتی استاندارد و B: نیمه ناظارتی

Fig. 2. Comparison of the decision boundary identified by A: supervised SVM, and B: semi-supervised SVM

$$Q(W, b) = \frac{1}{2} \|W\|^2$$

رابطه ۴

$$y_i (W^T X + b) \geq 1 \quad \text{for } i = 1, 2, \dots, M$$

برای حل این معادله از مسئله بهینه‌سازی ضرایب لاغرانژ و در حالت غیرخطی با به کارگیری توابع کرنل و نگاشت فضای داده‌ها به ابعاد بالاتر استفاده می‌شود (Abedi et al., 2012).

ماشین بردار پشتیبان نیمه ناظارتی
ماشین بردار پشتیبان نیمه ناظارتی هدایت شده، حالت ارتقا یافته ماشین بردار پشتیبان استاندارد، با به کارگیری داده‌های بدون برچسب است. در این روش، هدف یافتن یک برچسب برای داده بدون برچسب است؛ به طوری که مرز جداکننده، بیشترین فاصله را از هر دو طرف داده‌های برچسب دار اولیه و داده بدون برچسبی که تازه روی آن برچسب زده شده، داشته باشد (Fatehi and Asadi, 2017).

با فرض M داده m بعدی ورودی $x_i = (1, 2, \dots, M)$ که متعلق به طبقه‌های مثبت و منفی هستند و برچسب آنها $y_i = 1$ و برای طبقه مثبت و $y_i = -1$ برای طبقه منفی است و با فرض خطی تفکیک پذیر بودن آ، تابع تصمیم SVM به صورت زیر تعریف می‌شود:

رابطه ۵

$$D(x) = W^T X + b$$

که W یک بردار m بعدی و b جمله با یاس است. برای $i = 1, 2, \dots, M$ داریم:

رابطه ۶

$$W^T X + b \begin{cases} \geq 1 & \text{for } y_i = 1 \\ \leq -1 & \text{for } y_i = -1 \end{cases}$$

بهترین ابر صفحه یا مرز تصمیم در روش SVM با حل مسئله بهینه‌سازی تابع Q مطابق رابطه ۳ برای W و b تحت قید رابطه (۴) بدست می‌آید:

رابطه ۷

بین اندازه حاشیه و خطای داده‌های آموزشی و غیرآموزشی به استباه طبقه‌بندی شده هستند و توسط کاربر تعیین می‌شوند. مؤلفه‌های W (شامل یک بردار m بعدی) و b (یک جمله بایاس) مربوط به ابر صفحه جداکننده هستند که مقادیر بهینه آنها با به کارگیری روش بهینه‌سازی ضرایب لاغرانژ محاسبه می‌شود. در این پژوهش، برای آموزش مدل‌های SVM و TSVM از موقعیت اندیس‌های شناخته‌شده مس و طلای پورفیری و نقاط بدون کانی‌سازی، برای برچسب دهی به داده‌های ورودی استفاده شده است.

داده‌های اکتشافی

در این پژوهش برای مدل‌سازی پتانسیل ذخیره مس و طلای پورفیری، از داده‌های زمین‌شناسی، ژئوشیمی رسوبات آبراهه‌ای، داده‌های ژئوفیزیک هوابرد و داده‌های ماهواره‌ای سنجنده است. استفاده شده است. داده‌های ژئوشیمی، شامل آنالیز ۸۴۳ داده ژئوشیمی رسوبات آبراهه‌ای است که توسط سازمان زمین‌شناسی ایران برداشت شده است. برای تجزیه شیمیایی و تعیین مقادیر عناصر در نمونه‌های تهیه شده، نمونه‌ها خرد شده و سپس از الک ۱۷۷ میکرومتر عبور داده شد و مجدد الک و تا ۸۰ میکرومتر پودر شده‌اند، سپس به سیله محلول تیزاب سلطانی هضم شده و در نهایت با استفاده از طیف‌سنج نشری پلاسمای جفت شده الکائی^۱ مورد آنالیز چند عنصری قرار گرفته‌اند. داده‌های ژئوفیزیک شامل داده‌های مغناطیس هوابرد است که با مشخصات شبکه پروازی 400×2500 متر با ارتفاع پروازی ۵۰۰ متری توسط سازمان زمین‌شناسی ایران و با همکاری سازمان توسعه و نوسازی معادن ایران (ایمیدرو) برداشت شده است. داده‌های زمین‌شناسی شامل واحدهای لیتلولوژیکی، گسل‌ها و اطلاعات اندیس‌های معدنی، از نقشه یکصدهزار زمین‌شناسی ده‌سلم اقتباس شده است. مشخصات داده‌های اکتشافی پردازش شده برای مدل‌سازی پتانسیل ذخیره مس و طلای پورفیری در منطقه مورد بررسی در جدول ۱ آمده است.

ماشین بردار پشتیبان استاندارد و نیمه‌نظرارتی در شکل ۲ نشان داده شده است. در شکل ۲-A تنها سه نمونه داده با برچسب مثبت (نشان دهنده وجود اندیس معدنی) و سه نمونه با برچسب منفی (نشان دهنده نقاط بدون کانی‌سازی) وجود دارد. در شکل ۲-B به این مجموعه داده‌های بدون برچسب نیز افزوده شده است. چنان‌که در شکل ۲-B نشان داده شده، با استفاده از داده‌های غیر آموزشی بدون برچسب مرز تصمیم محاسبه شده، دو جامعه را از هم بهتر تفکیک کرده است. در مدل‌سازی پتانسیل معدنی، این مرز نشان دهنده تفکیک جامعه هدف اکتشافی (ناحیه آنومال) و زمینه است.

برای آموزش الگوریتم TSVM علاوه‌بر بردار داده‌های ورودی $X_{train} = (x_1, x_2, \dots, x_M)$ و برچسب آنها یعنی $Y_{train} = (y_1, y_2, \dots, y_M)$ از داده‌های بدون برچسب $X_u = (x_{M+1}, x_{M+2}, \dots, x_N)$ استفاده می‌شود و هدف آن پیش‌بینی طبقه داده‌های بدون برچسب $Y_u^* = (Y_{M+1}^*, Y_{M+2}^*, \dots, Y_N^*)$ است. بنابراین تابع هدف ماشین بردار پشتیبان نیمه نظرارت شده مطابق تابع Q در رابطه ۵ است که حل آن یافتن طبقه داده‌های بدون برچسب $Y_u^* = (Y_{M+1}^*, Y_{M+2}^*, \dots, Y_N^*)$ با ابر صفحه‌ای (W,b) است که داده‌های آموزشی و غیرآموزشی را با بیشترین حاشیه تحت قیود رابطه ۶، جدا کند.

رابطه ۵:

$$Q(Y_u^*, b, \varepsilon_1, \dots, \varepsilon_M, \varepsilon_{M+1}, \dots, \varepsilon_N) = -\frac{1}{2} \|W\|^2 + C \sum_{i=1}^M \varepsilon_i + C^* \sum_{j=M+1}^N \varepsilon_j^*$$

رابطه ۶:

$$y_i(W^T X_{li} + b) \geq 1 - \varepsilon_i, \quad \varepsilon_i \geq 0, \quad \text{for } i = 1, \dots, M.$$

$$Y_{uj}^*(WX_{uj}^* + b) \geq 1 - \varepsilon_j^*, \quad \varepsilon_j^* \geq 0, \quad \text{for } j = M+1, \dots, N.$$

$$Y_{uj}^* \in \{+1, -1\} \quad \text{for } j = M+1, \dots, N.$$

در این روابط، ε نمایانگر فاصله داده‌های آموزشی با بیشینه فاصله هر دسته از طبقه‌بند است (شکل B-۲). C و C^* تعادل

جدول ۱. داده های اکتشافی مورد استفاده برای مدل سازی اکتشافی ذخایر مس و طلای پورفیری در منطقه مورد بررسی دهسلم**Table 1.** The available datasets used for porphyry Cu-Au potential modeling in Dehsalm study area

Exploration data sets (used to extract input data layers)	Descriptions
Lithological setting	1:100,000 geological map sheet, used to classify host and other important lithologies
Structural setting	Faults and Lineament extracted from 1:100,000 geological map
Geochemical setting	843 stream sediment samples analyzed for Cu, As, Sb, Pb, Zn and Mo (no Au analysis)
Aster satellite imagery data	4 scenes (AST-L1T), used for alteration mapping
Airborne magnetic data	with 500m distance flight lines, 2500m tie lines and 400m flight height
Mineral occurrences	20 copper-gold occurrences
Digital elevation model (DEM)	Used to create 410 catchment basins

پژوهش از لایه اکتشافی نزدیکی به گسل های منطقه برای ردیابی مسیر جریان محلول های گرمابی مرثر در کانی سازی استفاده شده است (شکل ۳-C). نفوذ محلول های هیدروترمال از طریق مسیر و شکستگی ها و برهم کنش آنها با توالی سنگ های میزبان، باعث ایجاد دگر سانی های اولیه سدیک و کلاسیک در ذخایر پورفیری می شود (Carranza and Hale, 2002). بنابراین نزدیکی به واحدهای دگر سان شده، عنوان معیاری مطلوب برای ردیابی این نوع کانی سازی است (شکل ۳-A). برهم کنش سیستم محلول های هیدروترمال با سنگ میزبان در شرایط متفاوت دمایی، وجود سولفات ها و شرایط اسیدیته محیط، عامل اصلی تهنشست و کانی سازی هستند که توسط انواع مختلف سیستم های دگر سانی معرفی می شوند. انواع دگر سانی های مختلف مرتبط با کانی سازی در سیستم پورفیری شامل دگر سانی های پتا سیک، آرژیلیک متوسط تا پیشرفت (آلونیت)، اکسید آهن، سریسیتیک و پروپلیتیک است (John et al., 2010). در این پژوهش نزدیکی به واحدهای دگر سانی آرژیلیک و اکسید آهن برای

مدل مفهومی و معیار های اکتشافی مس طلای پورفیری

برای شناسایی مرحله ای معیارهای اکتشاف ذخایر پورفیری جهت مدل سازی پتانسیل معدنی، تعریف مدل مفهومی تشکیل این ذخایر ضروری است. مشخصات سیستم کانی سازی، معیارهای اکتشافی و لایه های ورودی برای مدل سازی پتانسیل مس و طلای پورفیری در پهنه اکتشافی دهسلم در جدول ۲ نشان داده شده است. سیستم های کانی سازی مس پورفیری با کمان های ماگمایی زون فروزانش در ارتباط هستند. حرکت و تغییر در شیب صفحات زمین ساختی به جریان یافتن سیال ماگمایی از گوشته به پوسه، ماگماتیسم و فرایندهای متامورفیک منجر می شود (Sillitoe, 1972). ثابت شده است که نآمیختگی سیالات ماگمایی در طی فرایند کریستالیزه شدن، سازو کار اصلی تشکیل جریان های هیدروترمال در سیستم های پورفیری است. مسیر جریان محلول های گرمابی متنوع هستند و هر منطقه نفوذ پذیر در یک سیستم کانی سازی به عنوان یک کanal و مجرای حرکت سیال شناخته می شود (Fatehi and Asadi, 2017).

(Aryafar, 2014). بدین منظور در این پژوهش، پس از استخراج حوضه آبریز بالادست هر نمونه ژئوشیمی با استفاده از فایل DEM منطقه، مقدار عیار آن نمونه برای عناصر ردیاب کانی سازی پورفیری، به حوضه آبریز متناظر آن نسبت داده شده است و از آن برای مدل سازی پتانسیل معدنی استفاده شده است (شکل ۴ A-۴، B، C، D، E و F).

برای تهیه مدل اکتشافی مس طلای پورفیری در پهنه دهسلم، مقادیر تمامی لایه‌های شاهد اکتشافی (جدول ۲) پس از رستری شدن با اندازه پیکسل 100×100 متر با توجه به تراکم نمونه‌های ژئوشیمیابی (Hengl, 2006)، با به کارگیریتابع لجستیکی مطابق رابطه ۷، در محیط نرم‌افزاری ARCGIS 10.5، به صورت فازی شده در بازه صفر و یک به صورت پیوسته، وزن دار شدند (Yousefi and Carranza, 2015a).

رابطه ۷:

$$F_V = \frac{1}{1 + \exp[-s(v - i)]}$$

که در آن v مقدار عددی هر پیکسل لایه شاهد در بازه نامحدود، i مقدار فازی نسبت داده شده به ۷ در بازه صفر و یک و s به ترتیب نشان‌دهنده شب و نقطه عطف تابع فازی هستند. با توجه به آنکه مقادیر پیوسته نقشه‌های شاهد اکتشافی در محدوده یکسانی قرار ندارند و در نتیجه اهمیت نسبی آنها به صورت صحیح نمی‌تواند برای مدل سازی پتانسیل معدنی مورد ارزیابی قرار گیرد، وزن دار کردن آنها با به کارگیری تابع لجستیک Yousefi and Carranza, 2016; (Roshanravan et al., 2019).

تولید مدل پتانسیل معدنی

برای آموختش مدل‌های SVM و TSVM، از موقعیت اندیس‌های شناخته شده (برچسب‌گذاری شده با مقدار یک) و نقاط بدون کانی سازی (برچسب‌گذاری شده با مقدار صفر)، به همراه سایر داده‌های بدون برچسب استفاده شد. نواحی بدون کانی سازی بر اساس بازدید صحرایی انجام شده از منطقه مورد بررسی انتخاب شده است که موقعیت آنها در شکل ۴ نشان داده شده

مدل سازی پتانسیل مس و طلای پورفیری به کار گرفته شده است (شکل ۳ E-۳ و F).

بر اساس بررسی‌های انجام شده، طیف وسیعی از سنگ‌های ولکانیک نفوذی با ترکیبی از دیوریت تا گرانیت، شامل کوارتز مونزونیت، دیوریت، گرانودیوریت، کوارتز دیوریت و مونزونیت در ارتباط ژنتیکی با تشکیل ذخایر پورفیری هستند (Sillitoe, 2010; John et al., 2000). بنابراین در مدل سازی اکتشافی این ذخایر، نزدیکی به این واحدهای نفوذی به عنوان معیار مطلوب اکتشافی قلمداد می‌شود (شکل ۳-B). پراکندگی فضایی و مقادیر آنومال عناصر مس، سرب، روی، مولیبدنیوم، آرسنیک و آنتیموان به عنوان نشانگرهای ژئوشیمیابی مرتبط با این نوع کانی سازی شناخته شده‌اند (شکل ۴ A-۴، B، C، D، E و F) (Sillitoe, 2010, 2000).

برداشت‌های مگنتومتری ابزاری مناسب برای شناسایی دگرسانی‌های هیدروترمال در کانسارهای مس و طلای پورفیری هستند (Abedi et al., 2012). در یک سیستم پورفیری غنی‌شدگی مگنتیت در پهنه دگرسانی پتا‌سیک که در مرکز سیستم واقع شده است، مشاهده می‌شود. بنابراین آنومالی مثبت می‌تواند مغناطیسی نشان‌دهنده دگرسانی پتا‌سیک باشد که ذخیره اصلی ماده معدنی را شامل می‌شود، (Clark, 2014). در این پژوهش، فیلتر برگردان به قطب مغناطیسی برای شناسایی آنومالی‌های مثبت مغناطیسی به کار گرفته شده است و نقشه فاصله از این آنومالی‌ها به عنوان معیار اکتشافی مرتبط با کانی سازی احتمالی پورفیری در مدل سازی استفاده شده است (شکل ۳-D). با توجه به آنکه رسوبات آبراهه‌ای در هر نقطه در امتداد سیستم زهکشی، مواد مركب حاصل از هوازدگی و فرایش یک یا چند منبع بالادست را نشان می‌دهد (Carranza, 2008)، در این پژوهش، برای آماده‌سازی داده‌های ژئوشیمیابی جهت مدل سازی پتانسیل معدنی مس طلای پورفیری از روش آنالیز حوضه‌های آبریز استفاده شده است. این روش، نمایش بهتری از داده‌ها را در اختیار می‌گذارد و اجازه تمیز بین مناطق آنومال و غیر آنومال را می‌دهد (Keyka Hoseinpoor and

بهینه کردن RBF، با به کارگیری روش تخمین شبکه‌ای و ضرایب RSSL لاغرانژ، در محیط نرم‌افزار آماری R و با استفاده از پکیج TSVM تولید شده است. مدل‌های اکتشافی پتانسیل مس و طلای پورفیری به ترتیب در شکل‌های (A-۵) و (B) نشان داده شده است. در این مدل‌ها اهمیت اکتشافی برای هر پیکسل، به صورت درجه عضویت فازی نشان داده شده است که مقادیر نزدیک به عدد یک نشان‌دهنده احتمال بیشتر حضور کانی‌سازی مس و طلای پورفیری در منطقه دهسلم است.

است. فرایند یادگیری در هر دو مدل با به کارگیریتابع کرنل شعاع‌پایه گوسی^۱ و در حالت غیرخطی انجام شد. برای آموزش بهینه، داده‌های ورودی به صورت تصادفی به دو گروه داده آموزش (۷۰ درصد) و آزمون (۳۰ درصد) تقسیم شدند. سپس هر مدل با استفاده از داده‌های آموزشی تعلیم داده شد و از طبقه‌بندی کننده طراحی شده برای طبقه‌بندی داده‌های آزمون استفاده شد. این فرایند به صورت تصادفی در انتخاب داده‌های آموزش و آزمون برای ده مرتبه انجام شد و طبقه‌بند بهینه بر اساس معیار نرخ طبقه‌بندی صحیح^۲ برای داده‌های آزمون انتخاب شد. تمامی محاسبات مربوط به مدل‌های به کارگرفته شده و مؤلفه‌های

جدول ۲. مشخصات سیستم کانی‌سازی و معیارهای اکتشافی برای مدل‌سازی پتانسیل مس طلای پورفیری در منطقه دهسلم

Table 2. Characteristics of mineral system model and exploratory criteria for porphyry Cu-Au MPM in Dehsalm area

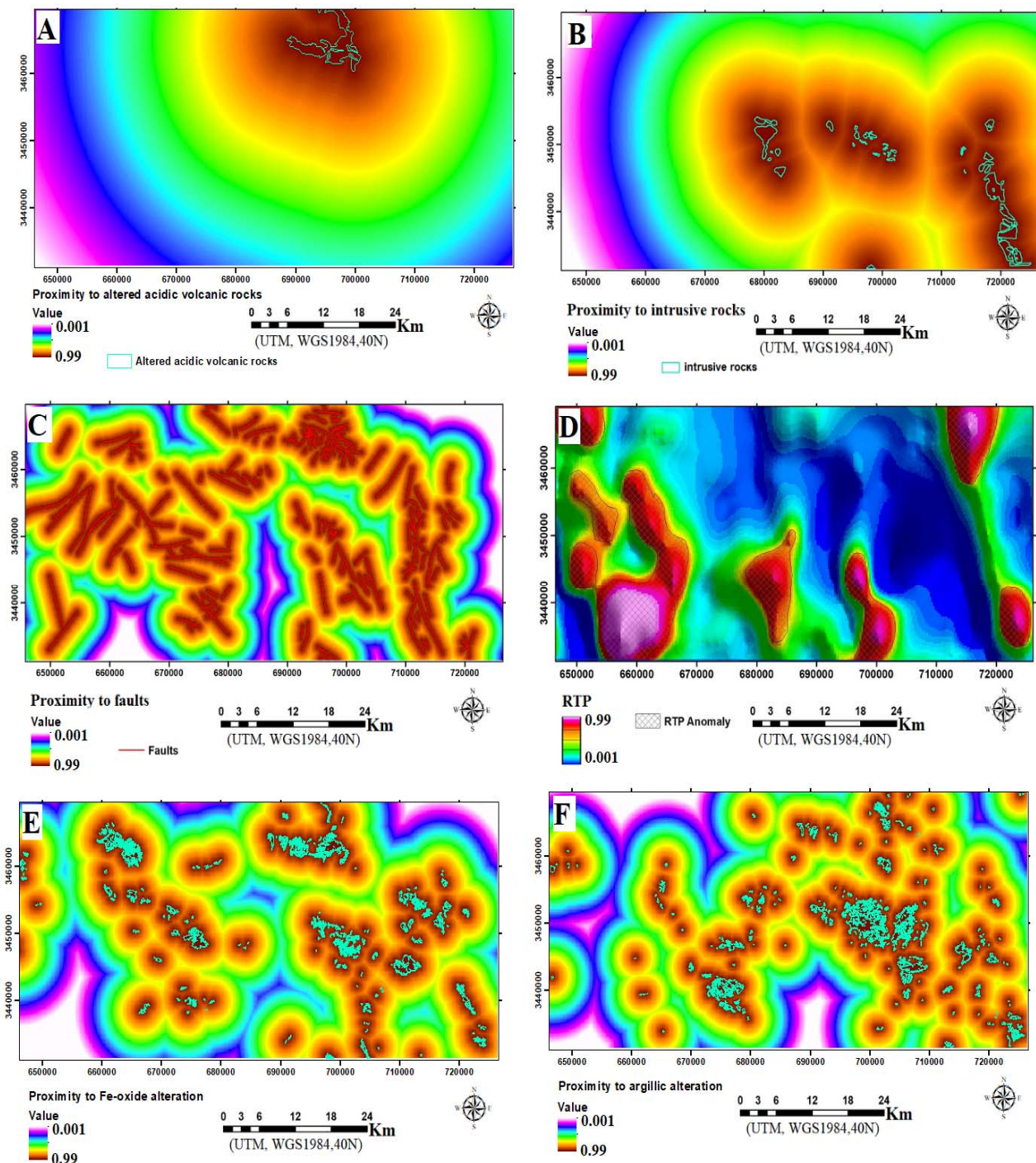
Targeting criteria	Spatial proxy	Rationale	Procedures Used
A) SOURCE			
Granitic to intermediate intrusive	Proximity to diorite-granodiorite and monzonite	Most porphyry Cu-Au deposits worldwide are formed in association with subduction-related calc-alkaline magmas and occur spatially in magmatic arcs (Sillitoe, 1972). A wide variety of intrusive rocks with dioritic to granitic compositions are spatially and genetically associated with, or host, porphyry deposits (John et al., 2010).	1) Euclidean distance calculated from intrusive rocks, including diorite-granodiorite and monzonite, 2) Euclidean distance calculated from dacite & rhyodacite rocks 3) Euclidean distance calculated from rhyolite rocks (Fig. 3B).
B) PATHWAYS			
Hydrothermal fluids	1) Proximity to alteration (argillic - Fe-Oxide) 2) Proximity to altered acidic volcanic rocks	Several types of wall-rock alteration (e.g., argillic, and iron-oxide (gossan) characterize porphyry Cu-Au deposits and may extend upward and outward for several kilometers from the center of the mineralization (Sillitoe, 2010). Mapping of the related alteration can be used as the evidence of passage of hydrothermal fluids from the presence of alteration signatures.	1) The band ratio method was applied on ASTER images to detect hydrothermal alteration, including argillic (b_4/b_5)*(b_8/b_6) and Fe-oxide (b_4/b_2) alterations and Euclidean distance calculated from alteration zones (Fig. 3E-F), 2) Euclidean distance calculated from the altered acidic volcanic rocks (Fig. 3A).

1. Gaussian Radial Basis Function (RBF)
2. Correct classification rate

ادامه جدول ۲. مشخصات سیستم کانی‌سازی و معیارهای اکتشافی برای مدل‌سازی پتانسیل مس طلای پورفیری در منطقه دهسلم

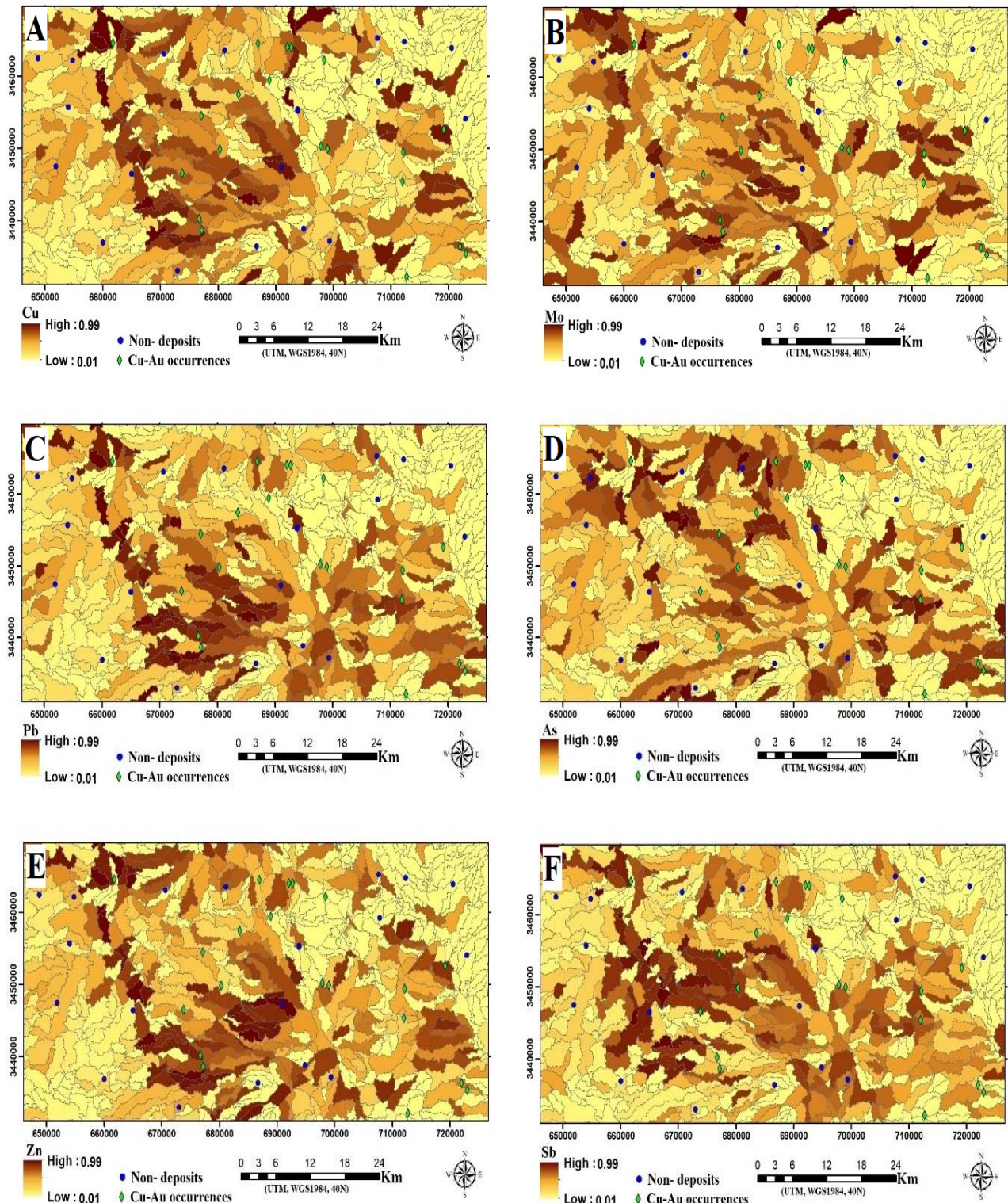
Table 2 (Continued). Characteristics of Mineral System model and exploratory criteria for Porphyry Cu-Au MPM in Dehsalm area

Targeting criteria	Spatial proxy	Rationale	Procedures Used
B) PATHWAYS			
Sub-surface intrusive bodies	Proximity to high magnetic anomaly	Intrusions associated with porphyry copper-gold deposit contain abundant igneous magnetite and produce greater quantities of hydrothermal magnetite during early potassic alteration (Clark, 2014). Hence, proximity to the magnetite anomalies can detect the early potassic alteration in porphyry systems.	Airborne magnetometer data were analyzed and Euclidean distance from reduction to pole magnetic (RTP) filter were calculated (Fig. 3D) (Clark, 2014).
C) Deposition			
Pathfinders elements	Favorable catchment basins anomaly of signature element (Cu, Pb, Zn, Mo, As and Sb)	The suite of important geochemical indicator elements for prospecting porphyry Cu-Au deposit is Cu-As-Sb-Mo-Zn-Pb (Yousefi and Carranza, 2015a; Sillitoe, 2010). Therefore, in this study sample catchment basin (SCB) modeling method was employed to portray geochemical anomalies as chemical traps for Cu-Au prospectivity modeling (e.g. Carranza, 2008).	<ol style="list-style-type: none"> 1) Stream catchment basin (SCB) extracted from digital elevation model file in GIS software, 2) Stream sediment catchment basin analysis was done as suggested by (Carranza, 2008), 3) The fuzzy “Or” operation was used to generate the enhanced geochemical signature as Mo+ As+ Sb and Cu+ Pb+ Zn combinations, 3) Euclidean distance calculated from anomalous basins (Fig. 4).
Lineament	Structural features	In porphyry systems, generally the major faults act as pathways and the subsidiary fractures are the mineralization zones (Sillitoe, 2010). So, in this study proximity to the local faults is used as trap proxy for metal deposition.	Euclidean distance calculated from structural features (Fig. 3C)



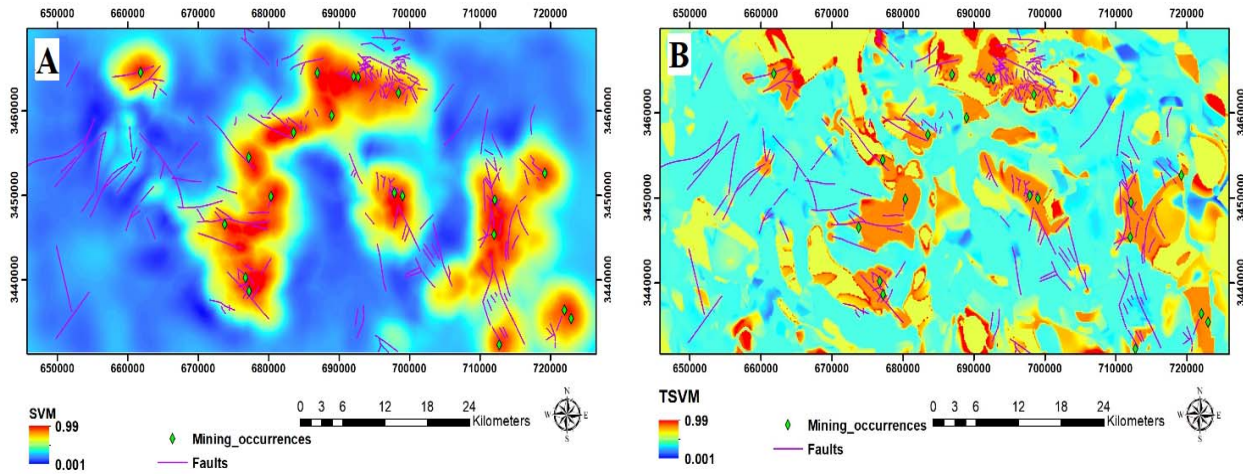
شکل ۳. لایه‌های شاهد اکتشافی وزن دار پیوسته برای مدل‌سازی پتانسیل مس و طلای پورفیری در منطقه دهسلم، A: لایه فاصله از واحدهای ولکانیک دگر سان شده، B: لایه فاصله از واحدهای ولکانیک نفوذی، C: لایه فاصله از گسل‌ها، D: لایه فاصله از آنومالی مغناطیسی برگردان به قطب، E: لایه فاصله از دگرسانی اکسید آهن و F: لایه فاصله از دگرسانی آرژیلیک

Fig. 3. Continuous weighted evidence layer for porphyry Cu-Au potential modeling in Dehsalm area, A: proximity to altered volcanic rocks, B: proximity to intrusion volcanic units, C: proximity to faults, D: proximity to RTP magnetite anomalies, E: proximity to Fe-oxide alteration, and F: proximity to argillic alteration



شکل ۴. نقشه‌های وزن دار پراکندگی ژئو شیمیایی حوضه آبریز برای عناصر ردیاب کانی سازی مس طلای پورفیری در منطقه ده سلم، A: مس، B: مولیبدنیوم، C: سرب، D: آرسنیک، E: روی و F: آنتیموان

Fig. 4. Stream sediment weighted catchment basin of signature elements related to for porphyry Cu-Au mineralization in Dehsalm area, A: Copper, B: Molybdenum, C: Lead, and D: Arsenic, E: Zinc and F: Antimony



شکل ۵. اهداف اکتشافی مس طلای پورفیری در منطقه دهسلم با به کارگیری روش‌های A: SVM و B: TSVM

Fig. 5. Porphyry Cu-Au target areas in Dehsalm area generated by applying A: SVM, and B: TSVM algorithms

نام‌گذاری شده است (Chen and Wu, 2016). از مساحت زیر منحنی مشخصه عملکرد^۴ برای ارزیابی عملکرد مدل پتانسیل معدنی استفاده می‌شود. AUC مقداری بین ۰ و ۱ است که هرچه میزان آن به ۱ نزدیک‌تر باشد، نشان‌دهنده کارایی بهتر مدل است (Chen and Wu, 2016). نمودار مشخصه عملکرد سیستم برای دو مدل SVM و TSVM در شکل ۶ نشان‌داده شده است. SVM میزان AUC برای مدل پتانسیل تولیدشده توسط روش SVM برابر ۰/۸۹ و در روش TSVM معادل ۰/۹۱ است. بنابراین می‌توان نتیجه گیری کرد که هر دو مدل کارایی مناسبی داشته‌اند؛ هر چند مدل پتانسیل تولیدشده به روش TSVM عملکرد بهتری داشته است.

در نمودار میزان تغییرات پیش‌بینی-مساحت بهبودیافته، دو عدد برای هر مدل پتانسیل محاسبه می‌شود، یکی نرخ پیش‌بینی اندیس‌های معدنی شناخته‌شده و دیگری نرخ پیش‌بینی نقاط بدون اندیس. بنابراین برای به دست آوردن عدد نهایی عملکرد هر مدل به منظور مقایسه با سایر مدل‌ها لازم است دو عدد فوق از هم کسر شده تا عدد نهایی برای هر مدل به دست آید و مدل دارای عملکرد کلی بالاتری به عنوان مدل بهتر انتخاب شود (Yousefi

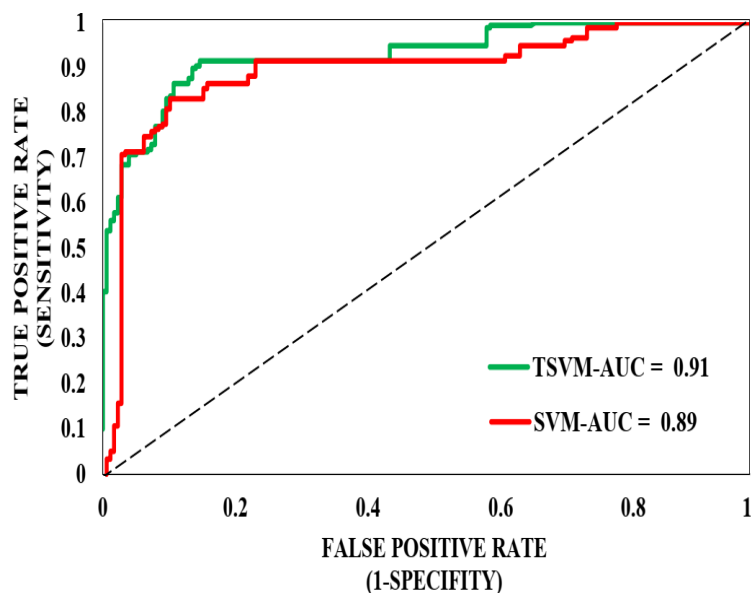
ارزیابی و مقایسه مدل‌های پتانسیلمعدنی خروجی مورد انتظار در مدل‌سازی پتانسیل معدنی باشد نشان‌دهنده نقاط بالهیت بالای اکتشافی در منطقه مورد جستجو باشد. این امر بدان معنی است که نواحی معرفی شده باید با اندیس‌های شناخته‌شده و با نقاط بدون کانی‌سازی به ترتیب پیشترین و کمترین همبستگی را داشته باشند (Porwal et al., 2003). برای ارزیابی عملکرد مدل‌های به کار گرفته شده در این پژوهش، از نمودار منحنی مشخصه عملکرد سیستم^۱ و نمودار میزان تغییرات پیش‌بینی-مساحت بهبودیافته استفاده شده است (Yousefi and Carranza, 2015b; Roshanravan et al., 2019). بدین‌منظور از موقعیت نقاط دارای کانی‌سازی و عقیمی که در فرایند آموزش مدل از آنها استفاده نشده است، برای رسم نمودار منحنی مشخصه عملکرد استفاده شده است. در نمودار ROC، محور عمودی بیانگر نسبت مناطق شناخته‌شده معدنی است که به درستی توسط مدل پتانسیل معدنی در رده آنمال طبقه‌بندی شده‌اند. این واژه در اصطلاح "حساسیت"^۲ نامیده شده است. در این نمودار محور افقی بیانگر نواحی بدون کانی‌سازی است که به اشتباہ در طبقه آنمال، طبقه‌بندی شده است. این مفهوم تحت عنوان "یک منهای اختصاصی بودن"^۳

1. Receiver operating characteristic (ROC)
2. Sensitivity

3. Specify
4. Area under the curve (AUC)

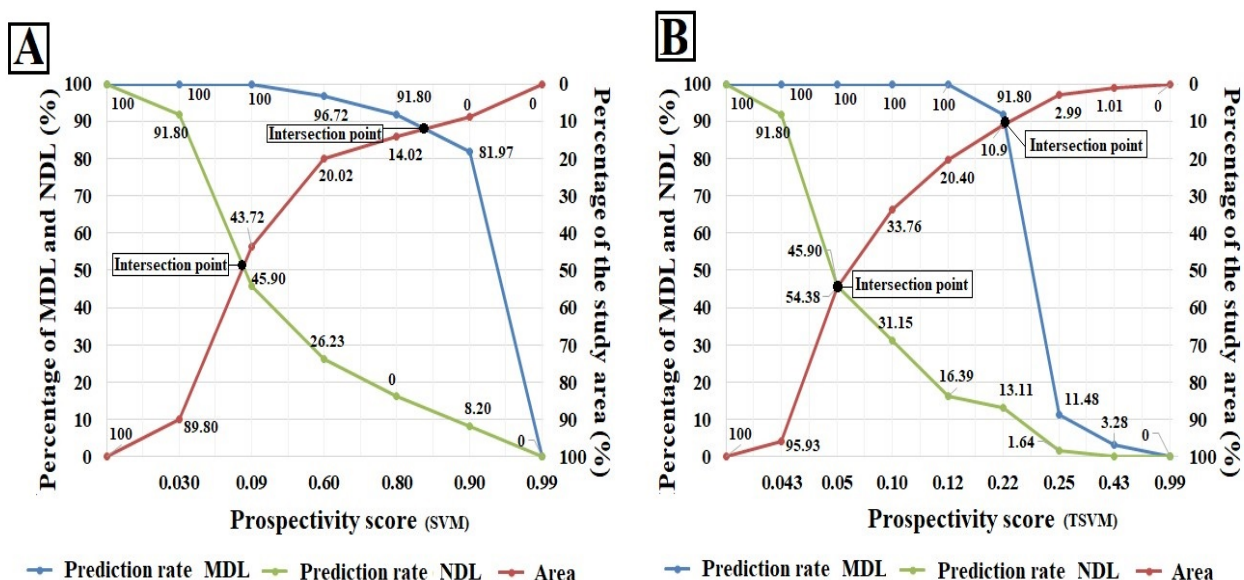
مدل، این اعداد از یکدیگر کسر شوند، مقدار عملکرد مدل SVM برابر 0.89 و برای مدل TSVM مقدار 0.91 است که نشان‌دهنده عملکرد بهتر روش TSVM در شناسایی اهداف اکتشافی مس و طلای پورفیری در منطقه مورد بررسی است.

(and Carranza, 2015b; Roshanravan et al., 2019) این مقاله اعداد بالا برای مدل SVM برابر 0.87 و 0.51 است (شکل ۷-A)؛ در حالی که این اعداد برای مدل TSVM برابر 0.89 و 0.46 است (شکل ۷-B). در صورتی که طبق روش نمودار میزان تغییرات پیش‌بینی-مساحت بهبود یافته، برای هر



شکل ۶. نمودار مشخصه عملکرد سیستم برای مدل‌های پتانسیل تولیدشده در منطقه دهسلم

Fig. 6. Receiver operating characteristic curve for generated potential models in Dehsalm area

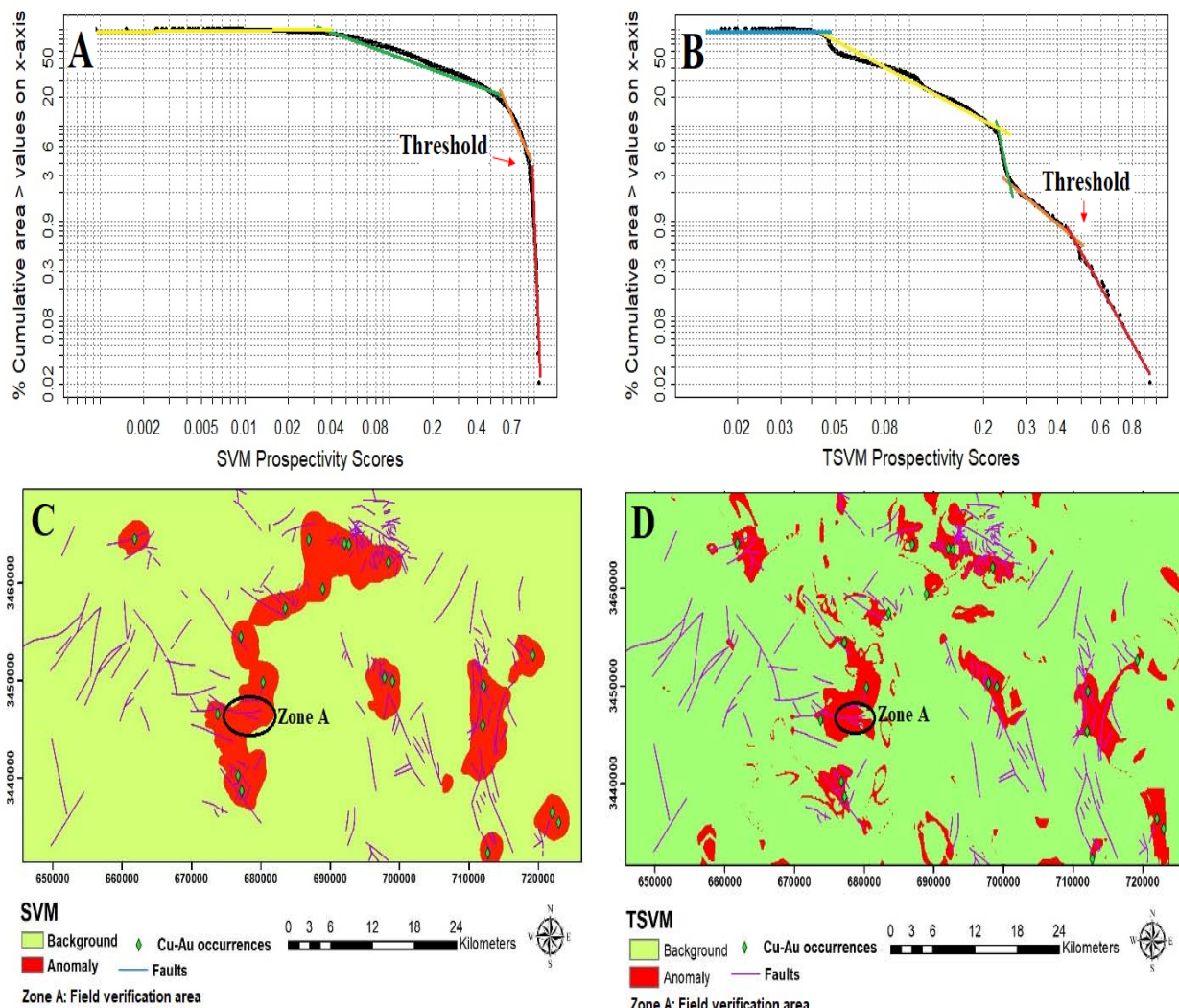


شکل ۷. نمودار میزان تغییرات پیش‌بینی-مساحت برای مدل‌های پتانسیل تولیدشده در منطقه دهسلم به روش A: SVM و B: TSVM

Fig. 7. Probability-Area plot for generated potential models in Dehsalm area, A: SVM, and B: TSVM

مدلهای نمایش دو طبقه‌ای اهداف اکتشافی (شکل C-۸ و D) هر دو روش به درستی تمامی اندیس‌های شناخته شده را در منطقه آنمال طبقه‌بندی کرده‌اند؛ با این تفاوت که مساحت نواحی آنمال معرفی شده در روش TSVM (درصد مساحت منطقه مورد بررسی) نسبت به روش SVM (۱۱ درصد مساحت منطقه مورد بررسی) کمتر است.

برای شناسایی نواحی هدف معدنی و برنامه‌ریزی عملیات اکتشافی نیاز به طبقه‌بندی کردن نقشه‌های پیوسته پتانسیل معدنی است. در این پژوهش، از روش فرکتالی عیار-مساحت Cheng et al., 1994; Ostadhosseini et al., 2018; Afzal et al., 2019; Shahsavari et al., 2019 جدایش نواحی آنمالی از زمینه در خروجی مدل‌های SVM و TSVM استفاده شده است (شکل A-۸ و B). با توجه به



شکل ۸. نمودارهای فرکتالی و نمایش دو طبقه‌ای اهداف اکتشافی مس طلای پورفیری در پهنه اکتشافی دهسلم، A: نمودار فرکtal مدل SVM و B: نمودار فرکtal مربوط به مدل TSVM، C: اهداف اکتشافی معرفی شده توسط روش SVM و D: اهداف اکتشافی معرفی شده توسط روش TSVM

Fig. 8. Concentration-area fractal plots and binary classification of predicted Cu-Au exploratory targets in Dehsalm area, A: fractal plot of SVM model, B: fractal plot of TSVM model, C: exploratory target areas predicted by SVM model, and D: exploratory target areas predicted by TSVM

بحث

برای شناسایی اهداف اکتشافی در مقیاس ناحیه‌ای، روش‌های مختلف نظارت‌شده و بدون ناظر در مدل‌سازی پتانسیل معدنی توسعه یافته‌اند. روش‌های نظارت‌شده، مانند SVM از داده‌های دارای برچسب اکتشافی برای طبقه‌بندی داده‌های اکتشافی استفاده می‌کنند. در مدل‌سازی پتانسیل معدنی، در جایی که تعداد اندیس کافی برای برچسب‌دهی به لایه‌های اکتشافی وجود نداشته باشد، به کارگیری روش‌های دانش محور در مدل‌سازی پتانسیل معدنی پیشنهاد شده است (Porwal and Carranza, 2015).

در روش‌های داده‌محور مدل‌سازی پتانسیل معدنی که از اطلاعات اندیس‌های شناخته‌شده برای مدل‌سازی استفاده می‌شود، هرچه تعداد داده‌های برچسب دار بیشتر باشد، نتیجه مدل‌سازی دقیق‌تر خواهد بود؛ چراکه این رویکرد با کشف ارتباط بین داده‌های برچسب‌دار و معیارهای اکتشافی در مورد برچسب سایر داده‌های بدون برچسب پیش‌بینی می‌کند. پژوهش‌ها ثابت کرده است که تعداد کافی داده‌های برچسب‌دار در مدل‌های داده‌محور، بسته به الگوریتم یادگیری مورداستفاده در مدل‌سازی متفاوت هست (Carranza and Laborte, 2015). از این‌رو نمی‌توان مقدار ثابتی را برای تعداد داده‌های برچسب‌دار در مرحله یادگیری روش‌های نظارت‌شده و نیمه‌نظری درنظر گرفت.

در این پژوهش، از روش نوین یادگیری نیمه‌نظری TSVM برای مدل‌سازی پتانسیل معدنی مس و طلای پورفیری در پهنه اکتشافی دهسلم استفاده شده است. این روش با به کارگیری هم‌زمان داده‌های برچسب‌دار و بدون برچسب اکتشافی در فرایند یادگیری، داده‌های اکتشافی را طبقه‌بندی می‌کند.

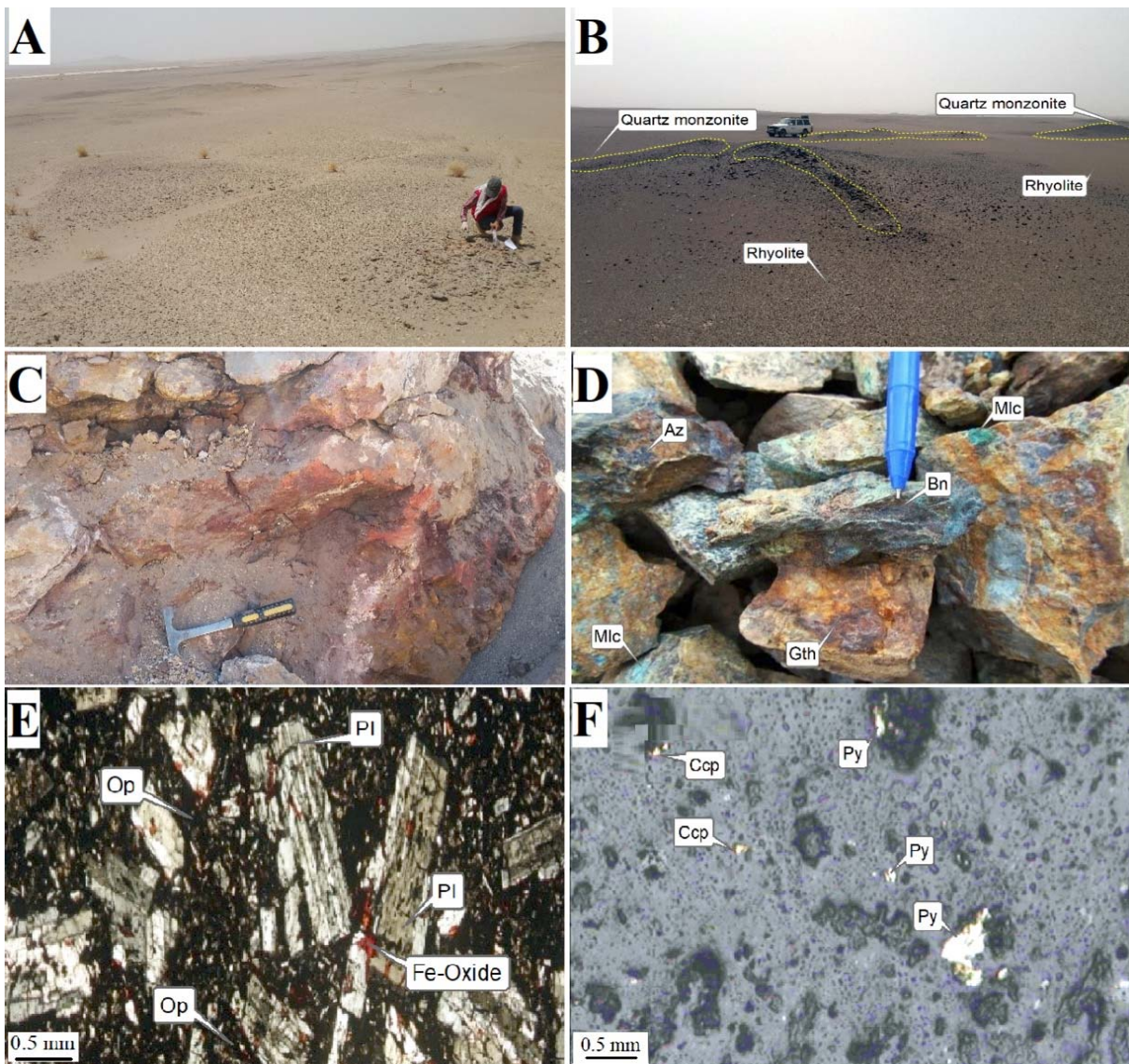
مقایسه مدل‌های پتانسیل تولید شده توسط معیار نمودار مشخصه عملکرد سیستم و نمودار میزان تغییرات پیش‌بینی-مساحت بهبود یافته، نشان‌دهنده عملکرد بهتر روش TSVM نسبت به روش SVM در شناسایی اهداف اکتشافی دارد. در روش

TSVM مساحت ناحیه آن مال معرفی شده در بیان نهاده اندیس‌های معدنی شناخته شده کمتر است؛ بنابراین برنامه‌ریزی شناسایی نواحی امیدبخش معدنی در فاز عملیات اکتشاف تفصیلی به صورت بهینه است (شکل ۸-۱D).

اهداف اکتشافی معرفی شده تو سط دو روش SVM و TSVM اغلب در راستای شمالی-جنوبی تا شمال‌غربی-جنوب‌شرقی بوده و از راستای گسل‌های اصلی منطقه پیروی می‌کنند. بنابراین می‌توان نتیجه گیری کرد که فعالیت گسل‌های عمیق در این قسمت از بلوک لوت احتمالاً یکی از عوامل اصلی در تنشست و کانه‌زایی مس و طلای پورفیری در این منطقه است. در خروجی روش TSVM، نواحی آن مال در قسمت جنوب و جنوب‌غربی منطقه مورد بررسی نیز شناسایی شده است که نیاز به بررسی‌های زمین‌شناسی تکمیلی دارد.

از دیدگاه سنگ شنا سی بر اساس بازدید صحرایی انجام شده (زون A)، مشخص شده در شکل C-۸ و D، نواحی پتانسیل معرفی شده متشکل از سنگ‌های آتسفسانی ترشیاری با ترکیب آندزیت بازالتی ائوسن، داسیت و ریولیت است (شکل E-۹) که مورد نفوذ توده‌های نیمه‌عمیق به شکل استوک کوچک و دایک با ترکیب مونزودیوریت و دیوریت قرار گرفته است (شکل ۹-۹B).

بررسی‌های صحرایی حضور زون‌های دگرسانی آرژیلیک و اکسید آهن را تأیید می‌کند که اغلب از روند گسل‌ها در جهت شرقی-غربی پیروی می‌کنند (شکل ۹-۹A و C). در این منطقه تعداد ۱۲۳ نمونه ژئوشیمیابی از واحد سنگی و کانی‌سازی برداشت شده است. ناهنجاری مس تا بیش از ۱/۲ درصد و طلا تا بیش از ۲۰۰۰ میلی‌گرم در تن عیار سنگی شده است. کانی‌سازی به صورت رگه‌ای در محل پرشدگی گسل‌ها به صورت کانی‌سازی اکسیدی و سولفیدی با حضور کانی‌های مالاکیت، آزوریت، بورزیت، پیریت و کالکوپیریت به شکل افشار مشاهده شد (شکل ۹-۹D و F).



شکل ۹. شواهد کانی سازی در نواحی اکتشافی معرفی شده در منطقه دهسلم: A: نمای کلی منطقه دهسلم، B: نفوذ دایک‌های با ترکیب مونزونیت تا کوارتز مونزونیت در واحد ریولیت، C: نمایی از دگرسانی اکسید آهن، D: کانی سازی اکسیدی مس شامل مالاکیت، بورنیت و آزوریت به همراه گوئیت، E: مقطع نازک آندزیت پورفیری به همراه کانی‌های کالکوپیریت و پیریت در مقطع صیقلی تهیه شده از زون کانی سازی. علامت اختصاری کانی‌ها از ویتنی و اوائز (Whitney and Evans, 2010) اقتباس شده است (Mlc: مالاکیت، Bn: بورنیت، Az: آزوریت، Gth: گوئیت، Op: اوپیک، Pl: پلاژیوکلаз، Ccp: کالکوپیریت، Py: پیریت).

Fig. 9. Evidences of mineralization in delineated target zones in Dehsalm area; A: general view of the study area, B: Penetration of stokes and dykes with the combination of diorite to quartz monzonite in rhyolite units, C: Gossan zone, D: secondary iron oxides with bornite, malachite and azurite, E: thin section of altered porphyry andesite, and F: polished section of observed mineralized zone. Abbreviation after Whitney and Evans (2010) (Mlc: malachite, Bn: bornite, Az: azurite, Gth: goethite, Op: opaque minerals, Pl: plagioclase, Ccp: chalcopyrite and Py: pyrite).

اکتشافی دهسلم با تعریف مدل مفهومی کانی سازی مس و طلای پورفیری و استفاده از روش‌های ماشین بردار پشتیبان و ماشین

نتیجه‌گیری

در این پژوهش، اهداف اکتشافی مس و طلای پورفیری در پهنه

بهینه‌تری نسبت به روش SVM داشته و به درستی تمامی اندیس‌های مس و طلای شناختشده را در ۹/۲ درصد از مساحت محدوده مورد بررسی، توجیه کرده است. بنابراین می‌توان نتیجه‌گرفت که مدل پتانسیل تولیدشده با استفاده از روش یادگیری نیمه‌نظراتی برای هدایت فعالیت‌های اکتشافی ذخایر مس و طلای پورفیری در منطقه مورد بررسی قابل اعتمادتر است. انجام بازدید زمین‌شناسی و بررسی‌های تکمیلی برای بررسی وجود کانی‌سازی احتمالی در اهداف اکتشافی معرفی شده، جهت برنامه‌ریزی ادامه عملیات اکتشافی در این مناطق پیشنهاد می‌شود.

قدرتانی

نویسنده‌گان از سازمان زمین‌شناسی ایران برای در اختیار گذاشتن داده‌های اکتشافی قدردانی می‌نمایند. از سازمان صنعت، معدن و تجارت استان خراسان جنوبی و شرکت مهندسی چکاد کاوش برای فراهم آوردن امکانات بازدید بررسی‌های صحرایی تشکر می‌شود.

بردار پشتیبان نیمه‌نظراتی شناسایی شد. در مدل‌های یادگیری نظارت شده برای شناسایی اهداف اکتشافی، نیاز به داده‌های برچسب‌دار اکتشافی است و از آنجایی که در مراحل اولیه اکتشاف، تعداد داده‌های برچسب‌دار محدود به تعداد اندک رخمنون‌ها و اندیس‌های معدنی شناخته شده در منطقه مورد بررسی است، به کارگیری این روش‌ها با محدودیت همراه است. از این‌رو، برتری روش‌های یادگیری نیمه‌نظراتی، قابلیت به کارگیری آنها در مراحل اولیه اکتشاف، با وجود تعداد اندک داده‌های برچسب‌دار اکتشافی است. مهم‌ترین برتری ارائه روش‌های مبتنی بر یادگیری نیمه‌نظراتی، قابلیت به کارگیری آنها در مراحل مختلف اکتشاف است. با توجه به آنکه عملیات اکتشاف مواد معدنی فرایندی مرحله‌ای است، می‌توان در هر مرحله از عملیات اکتشافی، با شناسایی داده‌های برچسب‌دار جدید، نسبت به آموزش مجدد مدل برای شدت‌بخشی شناسایی زون‌های کانی‌سازی استفاده کرد.

در این بررسی، برای ارزیابی عملکرد مدل‌های پتانسیل تولیدشده از روش نمودار مشخصه عملکرد سیستم استفاده شد. بر اساس این معیار، روش TSVM با مقدار AUC معادل ۰/۹۱ عملکرد

References

- Abedi, M., Norouzi, G.H. and Bahroudi, A., 2012. Support vector machine for multi-classification of mineral prospectivity areas. *Computers & Geosciences*, 46: 272-283.
<https://doi.org/10.1016/j.cageo.2011.12.014>
- Abedi, M., Norouzi, G.H. and Torabi, S.A., 2013. Clustering of mineral prospectivity area as an unsupervised classification approach to explore copper deposit. *Arabian Journal of Geosciences*, 6(10): 3601–3613.
<https://doi.org/10.1007/s12517-012-0615-5>
- Afzal, P., Yusefi, M., Mirzaie, M., Ghadiri-Sufi, E., Ghasemzadeh, S. and Daneshvar Saein, L., 2019. Delineation of podiform-type chromite

mineralization using geochemical mineralization prospectivity index and staged factor analysis in Balvard area (SE Iran). *Journal of Mining and Environment*, 10(3): 705–715.
<https://doi.org/10.22044/JME.2019.8107.1678>

- Akrami, M.A. and Naderi Mighan, N., 2005. Geological map of Dehsalm (1:100,000). Geological Survey of Iran.
- Beydokhti, R.M., Karimpour, M.H., Mazaheri, S.A., Santos, J.F. and Klötzli, U., 2015. U-Pb zircon geochronology, Sr-Nd geochemistry, petrogenesis and tectonic setting of Mahoor granitoid rocks (Lut Block, Eastern Iran). *Journal of Asian Earth Sciences*, 111:

- 192–205.
<https://doi.org/10.1016/j.jseaes.2015.07.028>
- Carranza, E.J.M., 2008. Geochemical anomaly and mineral prospectivity mapping in GIS. Elsevier, Amsterdam, 365 pp.
- Carranza, E.J.M. and Hale, M., 2002. Where porphyry copper deposits are spatially localized? A case study in Benguet province, Philippines. *Natural Resources Research*, 11(1): 45–59.
<https://doi.org/10.1023/A:1014287720379>
- Carranza, E.J.M. and Laborte, A.G., 2015. Random forest predictive modeling of mineral prospectivity with small number of prospects and data with missing values in Abra (Philippines). *Computers & Geosciences*, 74: 60–70.
<https://doi.org/10.1016/j.cageo.2014.10.004>
- Chen, Y., 2015. Mineral potential mapping with a restricted Boltzmann machine. *Ore Geology Reviews*, 71: 749–760.
<https://doi.org/10.1016/j.oregeorev.2014.08.012>
- Chen, Y. and Wu, W., 2016. A prospecting cost-benefit strategy for mineral potential mapping based on ROC curve analysis. *Ore Geology Reviews*, 74: 26–38.
<https://doi.org/10.1016/j.oregeorev.2015.11.011>
- Cheng, Q., Agterberg, F.P. and Ballantyne, S.B., 1994. The separation of geochemical anomalies from background by fractal methods. *Journal of Geochemical Exploration*, 51(2): 109–130.
[https://doi.org/10.1016/0375-6742\(94\)90013-2](https://doi.org/10.1016/0375-6742(94)90013-2)
- Clark, D.A., 2014. Magnetic effects of hydrothermal alteration in porphyry copper and iron-oxide copper–gold systems: a review. *Tectonophysics*, 624–625: 46–65.
<https://doi.org/10.1016/j.tecto.2013.12.011>
- Fatehi, M. and Asadi, H.H., 2017. Data integration modeling applied to drill hole planning through semi-supervised learning: A case study from the Dalli Cu-Au porphyry deposit in the central Iran. *Journal of African Earth Sciences*, 128: 147–160.
<https://doi.org/10.1016/j.jafrearsci.2016.09.007>
- Geranian, H., Tabatabaei, S.H., Asadi, H.H. and Carranza, E.J.M., 2016. Application of discriminant analysis and support vector machine in mapping gold potential areas for further drilling in the Sari-Gunay gold deposit, NW Iran. *Natural Resources Research*, 25(2): 145–159. <https://doi.org/10.1007/s11053-015-9271-2>
- Hengl, T., 2006. Finding the right pixel size. *Computers & geosciences*, 32(9): 1283–1298.
<https://doi.org/10.1016/j.cageo.2005.11.008>
- John, D.A., Ayuso, R.A., Barton, M.D., Blakely, R.J., Bodnar, R.J., Dilles, J.H., Gray, F., Graybeal, F.T., Mars, J.C., McPhee, D.K. and Seal, R.R., 2010. Porphyry copper deposit model. US Geological Survey Scientific Investigations, Reston, Report 2010–5070–B, 169 pp. <https://doi.org/10.3133/sir20105070B>
- Karimpour, M., Stern, C., Farmer, L. and Saadat, S., 2011. Review of age, Rb-Sr geochemistry and petrogenesis of Jurassic to Quaternary igneous rocks in Lut Block, Eastern Iran. *Geopersia*, 1(1): 19–54.
<https://doi.org/10.22059/JGEOPE.2011.22162>
- Keykha Hoseinpoor, M. and Aryafar, A., 2014. The use of robust factor analysis of compositional geochemical data for the recognition of the target area in Khusf 1: 100000 sheet, South Khorasan, Iran. *International Journal of Mining and Geo-Engineering*, 48(2): 191–199.
<https://doi.org/10.22059/IJMGE.2014.53107>
- Malekzadeh Shafaroudi, A. and Karimpour, M.H., 2013. Hydrothermal alteration mapping in northern Khur, Iran, using ASTER image processing: a new insight to the type of copper mineralization. *Acta Geologica Sinica-English Edition*, 87(3): 830–842.
<https://doi.org/10.1111/1755-6724.12092>
- Malekzadeh Shafaroudi, A., Karimpour, M.H. and Stern, C.R., 2015. The Khopik porphyry copper prospect, Lut Block, Eastern Iran: geology, alteration and mineralization, fluid inclusion, and oxygen isotope studies. *Ore Geology Reviews*, 65(Part2): 522–544.
<https://doi.org/10.1016/j.oregeorev.2014.04.015>
- McCuaig, T.C., Beresford, S. and Hronsky, J., 2010. Translating the mineral systems approach into an effective exploration targeting system. *Ore Geology Reviews*, 38(3): 128–138.
<https://doi.org/10.1016/j.oregeorev.2010.05.008>
- Ostadhosseini, A., Barati, M., Afzal, P. and Lee, I., 2018. Prospecting polymetallic mineralization

- in Ardestan area, Central Iran, using fractal modeling and staged factor analysis. *Geopersia*, 8(2): 279–292. <https://doi.org/10.22059/GEOPE.2018.254848.648376>
- Parsa, M., Maghsoudi, A., Yousefi, M. and Sadeghi, M., 2016. Prospectivity modeling of porphyry-Cu deposits by identification and integration of efficient mono-elemental geochemical signatures. *Journal of African Earth Sciences*, 114: 228–241. <https://doi.org/10.1016/j.jafrearsci.2015.12.007>
- Porwal, A. and Carranza, E.J.M., 2015. Introduction to the Special Issue: GIS-based mineral potential modelling and geological data analyses for mineral exploration. *Ore Geology Reviews*, 71: 477–483. <https://doi.org/10.1016/j.oregeorev.2015.04.017>
- Porwal, A., Carranza, E.J.M. and Hale, M., 2003. Artificial neural networks for mineral-potential mapping: a case study from Aravalli Province, Western India. *Natural resources research*, 12(3): 155–171. <https://doi.org/10.1023/A:1025171803637>
- Rodríguez-Galiano, V.F., Chica-Olmo, M. and Chica-Rivas, M., 2014. Predictive modelling of gold potential with the integration of multisource information based on random forest: a case study on the Rodalquilar area, Southern Spain. *International Journal of Geographical Information Science*, 28(7): 1336–1354. <https://doi.org/10.1080/13658816.2014.885527>
- Roshanravan, B., Aghajani, H., Yousefi, M. and Kreuzer, O., 2019. An improved prediction-area plot for prospectivity analysis of mineral deposits. *Natural Resources Research*, 28(3): 1089–1105. <https://doi.org/10.1007/s11053-018-9439-7>
- Rotiroti, M., Di Mauro, B., Fumagalli, L. and Bonomi, T., 2015. COMPSEC, a new tool to derive natural background levels by the component separation approach: application in two different hydrogeological contexts in northern Italy. *Journal of Geochemical Exploration*, 158: 44–54. <https://doi.org/10.1016/j.gexplo.2015.06.017>
- Shabankareh, M. and Hezarkhani, A., 2017. Application of support vector machines for copper potential mapping in Kerman region, Iran. *Journal of African Earth Sciences*, 128: 116–126. <https://doi.org/10.1016/j.jafrearsci.2016.11.032>
- Shahsavar, S., Rad, A.J., Afzal, P., Nezafati, N. and Aghdam, M.A., 2019. Prospecting for polymetallic mineralization using step-wise weight assessment ratio analysis (SWARA) and fractal modeling in Aghkand Area, NW Iran. *Arabian Journal of Geosciences*, 12(7): 248–258. <https://doi.org/10.1007/s12517-019-4304-5>
- Sillitoe, R.H., 1972. A plate tectonic model for the origin of porphyry copper deposits. *Economic geology*, 67(2): 184–197. <https://doi.org/10.2113/gsecongeo.67.2.184>
- Sillitoe, R.H., 2000. Gold-rich porphyry deposits: descriptive and genetic models and their role in exploration and discovery. In: S.G. Hagemann and P.E. Brown (Editors), *Gold in 2000*. Society of Economic Geologists, Colorado, pp. 315–345. <https://doi.org/10.5382/Rev.13.09>
- Sillitoe, R.H., 2010. Porphyry copper systems. *Economic geology*, 105(1): 3–41. <https://doi.org/10.2113/gsecongeo.105.1.3>
- Wang, J., Zuo, R. and Xiong, Y., 2020. Mapping mineral prospectivity via semi-supervised random forest. *Natural Resources Research*, 29(1): 189–202. <https://doi.org/10.1007/s11053-019-09510-8>
- Whitney, D.L. and Evans, B.W., 2010. Abbreviations for names of rock-forming minerals. *American Mineralogist*, 95(1): 185–187. <https://doi.org/10.2138/am.2010.3371>
- Yousefi, M. and Carranza, E.J.M., 2015a. Fuzzification of continuous-value spatial evidence for mineral prospectivity mapping. *Computers & Geosciences*, 74: 97–109. <https://doi.org/10.1016/j.cageo.2014.10.014>
- Yousefi, M. and Carranza, E.J.M., 2015b. Prediction-area (P-A) plot and C-A fractal analysis to classify and evaluate evidential maps for mineral prospectivity modeling. *Computers & Geosciences*, 79: 69–81. <https://doi.org/10.1016/j.cageo.2015.03.007>
- Yousefi, M. and Carranza, E.J.M., 2016. Data-driven index overlay and Boolean logic mineral prospectivity modeling in greenfields exploration. *Natural Resources Research*, 25(1): 3–18. <https://doi.org/10.1007/s11053-014-9261-9>

Yousefi, M. and Nykänen, V., 2017. Introduction to the special issue: GIS-based mineral potential targeting. *Journal of African Earth Sciences*, 128: 1–4.
<https://doi.org/10.1016/j.jafrearsci.2017.02.023>

Zuo, R. and Carranza, E.J.M., 2011. Support vector machine: a tool for mapping mineral prospectivity. *Computers & Geosciences*, 37(12): 1967–1975.
<https://doi.org/10.1016/j.cageo.2010.09.014>

COPYRIGHTS

©2021 The author(s). This is an open access article distributed under the terms of the Creative Commons Attribution (CC BY 4.0), which permits unrestricted use, distribution, and reproduction in any medium, as long as the original authors and source are cited. No permission is required from the authors or the publishers.



How to cite this article

Keykhay-Hosseinpoor, M., Kouhsari, A.H., Hossein Morshedy, A. and Porwal, A., 2021. Porphyry Cu-Au prospectivity modelling using semi-supervised learning algorithm in Dehsalm district, eastern Iran. *Journal of Economic Geology*, 13(1): 193–213. (in Persian with English abstract)
<https://dx.doi.org/10.22067/econg.v13i1.81382>



Porphyry Cu-Au prospectivity modelling using semi-supervised learning algorithm in Dehsalm district, eastern Iran

Majid Keykhay-Hosseinpoor^{1&2}, Amir Hossein Kouhsari^{1*}, Amin Hossein Morshedy¹, Alok Porwal^{2&3}

1) Department of Mining and Metallurgical Engineering, Yazd University, Yazd, Iran

2) Center of Studies in Resource Engineering (CSRE), IIT Bombay, Mumbai, India

3) Centre for Exploration Targeting, University of Western Australia, Crawley 6009, WA, Australia

Submitted: June 17, 2019

Accepted: May 19, 2020

Keywords: Mineral potential modeling, Porphyry Cu-Au mineralization, Semi-supervised learning, Support vector machine, Dehsalm

Introduction

The identification of potentially mineralized areas has progressed with the use and interpretation of all available exploratory data in the form of mineral potential modeling (MPM) (Yousefi and Nykänen, 2017). Recently, machine learning methods have been a popular research topic in the field of MPM ((Chen and Wu, 2016). Machine learning algorithms that have been used in MPM generally fall into the categories of being supervised or unsupervised. Supervised models, use the location of the known mineral occurrences as training sites (or labeled data). Therefore, these models suffer stochastic bias and error (Zuo and Carranza, 2011). Unsupervised models classify mineral prospectivity of every location based solely on feature statistics of individual evidential data layers ((Abedi et al., 2012). The semi-supervised learning models are a hybrid of supervised and unsupervised learning models that use both labeled and unlabeled data to extract the hidden structure of the data, as well as the relation between the input exploration layers and the output labeled data (Fatehi and Asadi, 2017).

The Dehsalm study area forms a part of the Lut metallogenic block of eastern Iran, which is characterized by the subduction zone setting and extensive magmatism (Beydokhti et al., 2015). The objective of this research is to present a prospectivity model to delineate exploration target areas for porphyry Cu-Au mineralization in the

study area. For generating a prospectivity model, we used TSVM algorithm, a semi-supervised learning integration technique, to identify the anomalous areas related to the porphyry Cu-Au mineralization. The input layers are selected based on a conceptual model for porphyry Cu-Au mineral system. The performance of the mineral prospectivity maps (MPMs) is evaluated using the various techniques, including the receiver operating characteristic (ROC) curve, an area under curve (AUC) metric.

Materials and methods

To apply a process-based understanding of porphyry copper-gold deposit system on the mapping of prospectivity, a conceptual model must be first developed (Fatehi and Asadi, 2017). Such a model should depict critical scale-dependent processes involved in the mineral deposit formation, and a mineral system approach can be followed to aid understanding where, when and why mineral deposits form (Parsa et al., 2016).

The spatial data sets used to model porphyry Cu-Au prospectivity of the study area include geological, remote sensing, geophysical, and geochemical data. In this study, semi-supervised support vector machine (TSVM) prospectivity technique is utilized to model porphyry Cu-Au target areas. The TSVM is an extension of SVM that uses the unlabeled data to improve the performances of the classifier. The aim of TSVM

*Corresponding author Email: Kohsary@gmail.com

DOI: <https://dx.doi.org/10.22067/econg.v13i1.81382>

algorithm is to find the decision hyper-plane subject to maximize the margin distance in labeled and unlabeled data.

Result

In the present study, TSVM and SVM models were applied to Cu-Au prospectivity modeling in the study area. The models were trained based on the location of known Cu-Au mineralization occurrences and non-deposit location using e1071 package in R open-source statistical software (70% of the labeled data were used in training and 30% in the testing phase of learning in both algorithms). The RBF kernel function were used and the optimal values of the kernel parameters were assessed using a 10-fold cross-validation procedure and the best learning performance was selected by correct classification rate. The output of the models highlighted the target areas for porphyry Cu-Au mineralization in the study area. The receiver operating characteristics (ROC) analysis shows that both models perform well, however, the TSVM model yields the best performance.

Discussion

To identify exploratory target areas on a regional scale, various supervised and unsupervised approaches have been developed in mineral potential modeling. Supervised methods such as SVM use labeled data to classify exploratory datasets. In this research, a new semi-supervised learning method, TSVM, was applied to model the mineral potential for porphyry Cu-Au mineralization in the Dehsalm exploration zone. The introduced target areas by TSVM method, within the known mineral indices, covered smaller areas than targets identified by SVM model, so planning the detailed exploration phase will be optimal. The result of this research demonstrates the superiority of the semi-supervised learning method in identifying the target areas for planning the exploratory operations.

Acknowledgements

We would like to thank the Geological Survey of Iran for providing the exploration data used in this research. The financial support of the South

Khorasan Industry, Mine & Trade Organization is gratefully thanked.

References

- Abedi, M., Norouzi, G.H. and Bahroudi, A., 2012. Support vector machine for multi-classification of mineral prospectivity areas. *Computers & Geosciences*, 46: 272–283.
<https://doi.org/10.1016/j.cageo.2011.12.014>
- Beydokhti, R.M., Karimpour, M.H., Mazaheri, S.A., Santos, J.F. and Klötzli, U., 2015. U-Pb zircon geochronology, Sr-Nd geochemistry, petrogenesis and tectonic setting of Mahoor granitoid rocks (Lut Block, Eastern Iran). *Journal of Asian Earth Sciences*, 111: 192–205.
<https://doi.org/10.1016/j.jseas.2015.07.028>
- Chen, Y. and Wu, W., 2016. A prospecting cost-benefit strategy for mineral potential mapping based on ROC curve analysis. *Ore Geology Reviews*, 74: 26–38.
<https://doi.org/10.1016/j.oregeorev.2015.11.011>
- Fatehi, M. and Asadi, H.H., 2017. Data integration modeling applied to drill hole planning through semi-supervised learning: A case study from the Dalli Cu-Au porphyry deposit in the central Iran. *Journal of African Earth Sciences*, 128: 147–160.
<https://doi.org/10.1016/j.jafrearsci.2016.09.007>
- Parsa, M., Maghsoudi, A., Yousefi, M. and Sadeghi, M., 2016. Prospectivity modeling of porphyry-Cu deposits by identification and integration of efficient mono-elemental geochemical signatures. *Journal of African Earth Sciences*, 114: 228–241.
<https://doi.org/10.1016/j.jafrearsci.2015.12.007>
- Yousefi, M. and Nykänen, V., 2017. Introduction to the special issue: GIS-based mineral potential targeting. *Journal of African Earth Sciences*, 128: 1–4.
<https://doi.org/10.1016/j.jafrearsci.2017.02.023>
- Zuo, R. and Carranza, E.J.M., 2011. Support vector machine: a tool for mapping mineral prospectivity. *Computers & Geosciences*, 37(12): 1967–1975.
<https://doi.org/10.1016/j.cageo.2010.09.014>